

# Nadprzewodnictwo Topologiczne. Fermiony Majorany.

Marta Wleklińska

6 czerwca 2025

## 1 Wstęp

W ćwiczeniu analizowaliśmy model Kitaeva oraz układ eksperymentalny w celu zaobserwowania stanów Majorany.

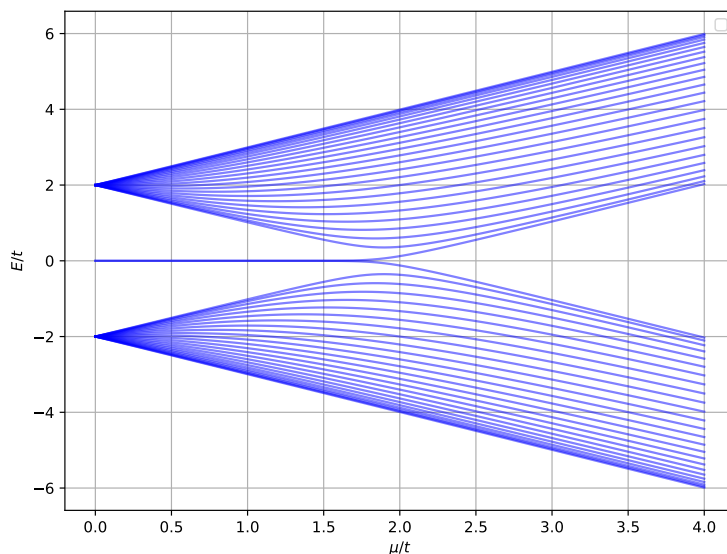
## 2 Wyniki

### 2.1 Kitaev

W pierwszym ćwiczeniu hamiltonian był w postaci

$$\hat{H} = -\mu\sigma_z |\psi_i\rangle \langle\psi_i| - t\sigma_z |\psi_i\rangle \langle\psi_{i+1}| - t\sigma_z |\psi_i\rangle \langle\psi_{i-1}| + i\Delta\sigma_y |\psi_i\rangle \langle\psi_{i+1}| - i\Delta\sigma_y |\psi_i\rangle \langle\psi_{i-1}|, \quad (1)$$

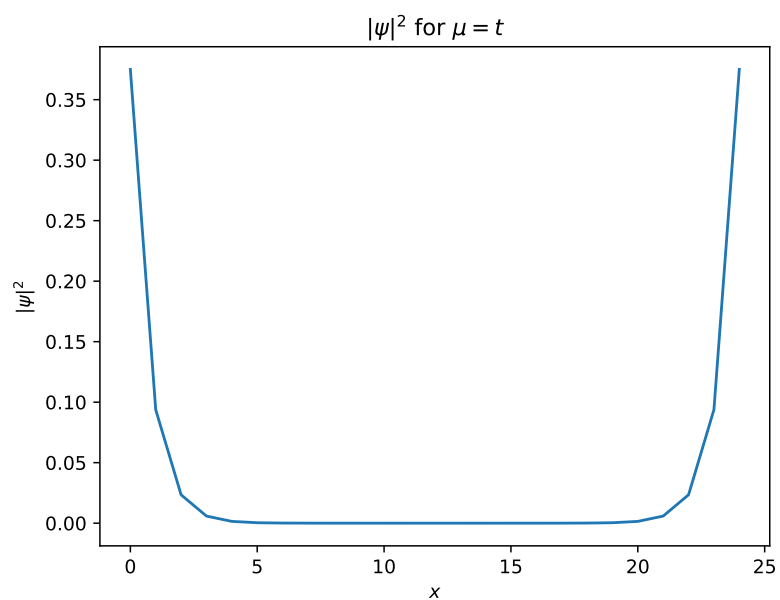
gdzie  $|\psi_i\rangle = (|\psi_i^e\rangle |\psi_i^h\rangle)$  to wektor na węźle  $i$ , który składa się z części elektronowej oraz dziuowej,  $\mu$  to potencjał chemiczny,  $t$  to energia przeskoku między węzłami, a  $\Delta$  określa energię parowania elektronowego. Po dyskretyzacji mogliśmy zapisać wyrażenie onsite oraz hopping i zdefiniować układ. Na rysunku 1 przedstawione zostały obliczenia energii stanów w funkcji potencjału chemicznego  $\mu \in [0, 4t]$ . Zauważamy stany o zerowej energii dla  $\mu < 2t$ , które odpowiadają



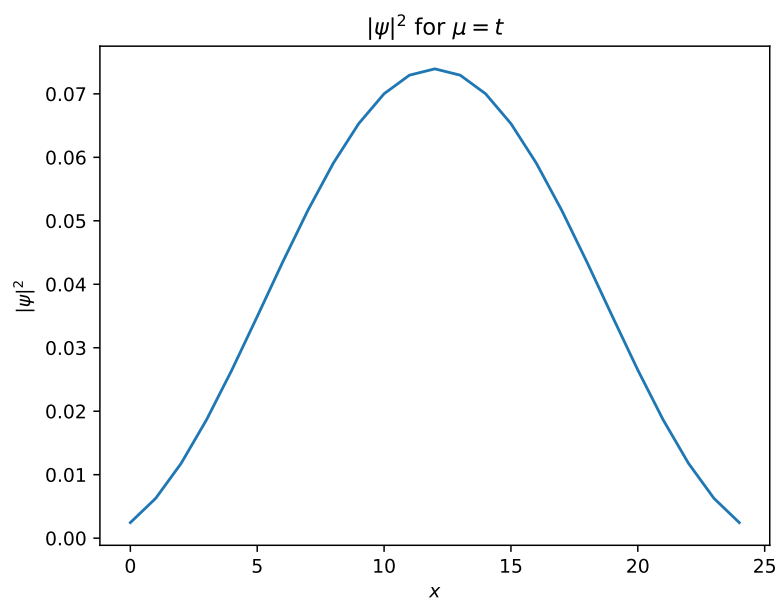
**Rysunek 1:** Spektrum energii w funkcji  $\mu/t$ . Wyniki dla łańcucha Kitaeva

stanom Majorany.

W kolejnym kroku zapisaliśmy wykres dla stanu o energii najbliższej lub równej zero dla przypadku  $\mu = t$  (rys. 2) i  $\mu = 4t$  (rys. 3). Dla  $\mu = t$  obserwujemy lokalizację funkcji falowej na końcach łańcucha, co świadczy o obecności stanów Majorany w fazie topologicznej. Z kolei dla  $\mu = 4t$  rozkład jest rozciągnięty na cały łańcuch i przypomina najniższy stan studni potencjału, co wskazuje na fazę trywialną.



**Rysunek 2:** Moduł funkcji falowej stanu najbliższego energii  $E = 0$  dla  $\mu = t$ . Wyniki dla łańcucha Kitaeva



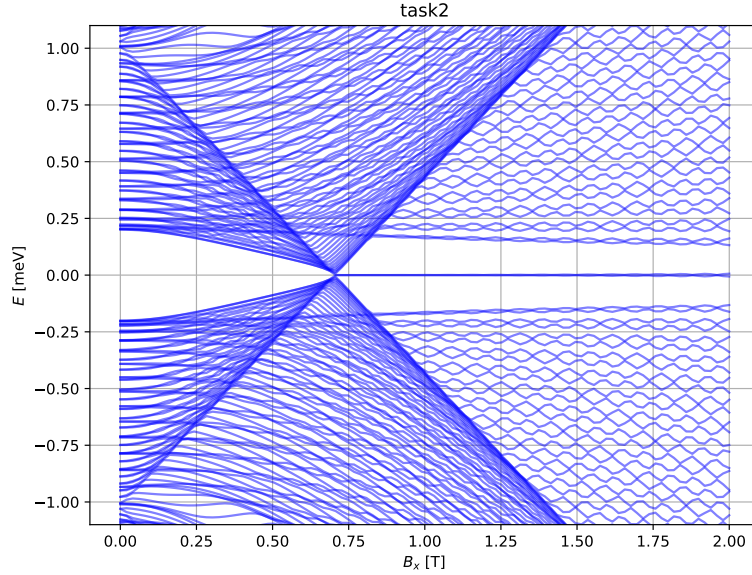
**Rysunek 3:** Moduł funkcji falowej stanu najbliższego energii  $E = 0$  dla  $\mu = 4t$ . Wyniki dla łańcucha Kitaeva

## 2.2 Układ eksperymentalny

W kolejnym ćwiczeniu analizowaliśmy układ o hamiltonianie w postaci

$$\hat{H} = \left( -\frac{\hbar^2}{2m^*} \frac{d^2}{dx^2} - \mu \right) \tau_z \otimes \sigma_0 + \frac{1}{2} g \mu_B \tau_z \otimes (B_x \sigma_x + B_y \sigma_y + B_z \sigma_z) - \alpha k_x \tau_z \otimes \sigma_y - \Delta \tau_y \otimes \sigma_y, \quad (2)$$

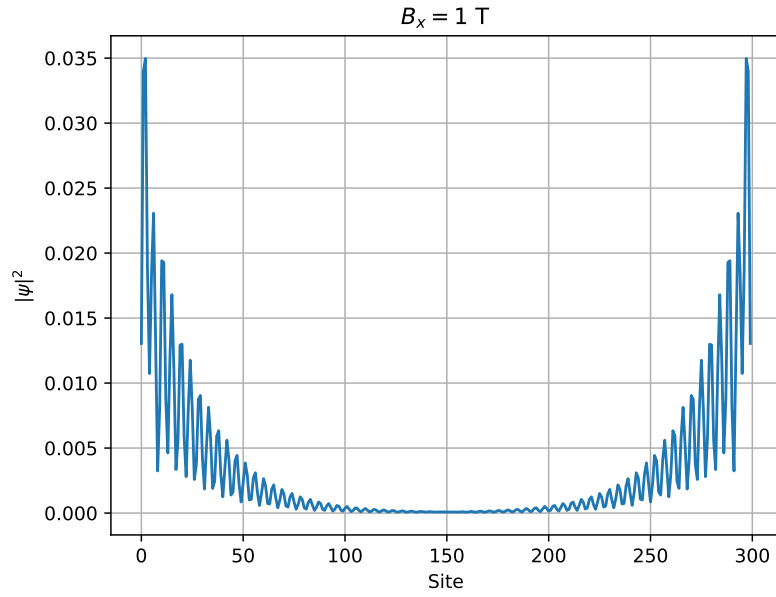
czyli wprowadziliśmy zależności od pola  $\mathbf{B}$  oraz oddziaływania spin-orbita, sterowanego stałą SOC  $\alpha$ . Po dyskretyzacji hamiltonianu, mogliśmy zdefiniować układ i wyznaczyć energie własne w funkcji pola  $B_x$ , co zostało zapisane na rysunku 4. Dla pola  $B_x = 1$  T obserwujemy pojawienie się stanów o zerowej energii oraz lokalizację ich funkcji falowych na



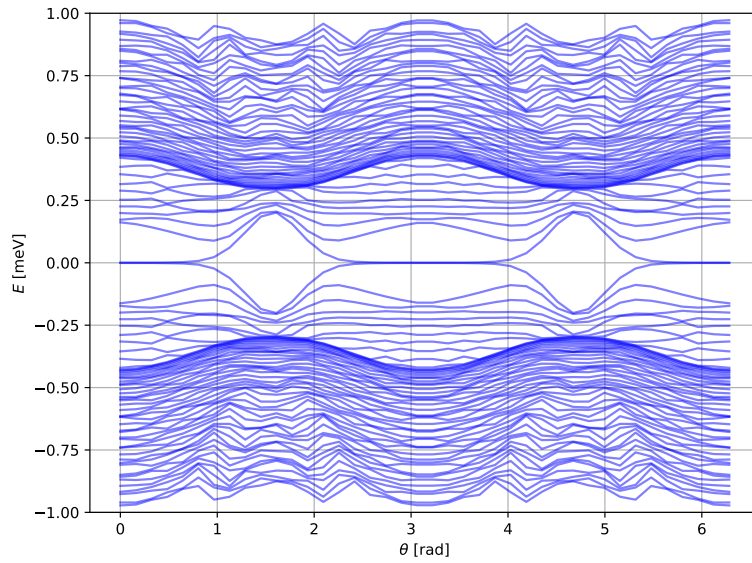
**Rysunek 4:** Spektrum energii w funkcji pola  $B_x$ . Wyniki dla realistycznego modelu nanodrutu z SOC

końcach nanodrutu, co świadczy o obecności stanów Majorany.

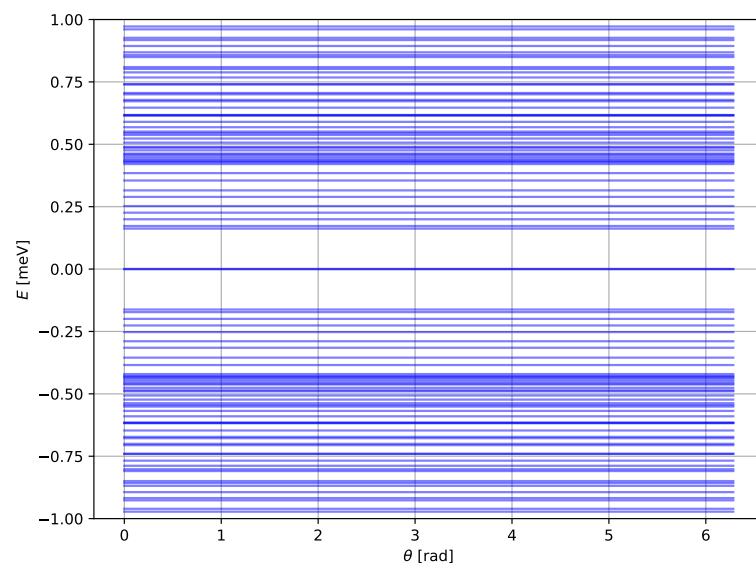
W przypadku rotacji pola w płaszczyznach  $xy$  i  $xz$  spektrum wykazuje rozszczepienia zgodne z zachowaniem oczekiwanym w obecności silnego sprzężenia spin-orbita i nadprzewodnictwa (rys. 6, 7).



**Rysunek 5:** Moduł funkcji falowej w nanodrucie policzony dla realistycznego modeli nanodrutu z SOC. Wyniki dla  $B_x = 1$  T dla stanu najbliższego energii  $E = 0$



**Rysunek 6:** Spektrum energii w funkcji pola rotującego w płaszczyźnie  $xy$ . Wyniki dla realistycznego modelu nanodrutu z SOC, dla  $|B| = 1$  T.



**Rysunek 7:** : Spektrum energii w funkcji pola rotującego w płaszczyźnie  $xz$ . Wyniki dla realistycznego modelu nanodrutu z SOC, dla  $|B| = 1$  T.